

---

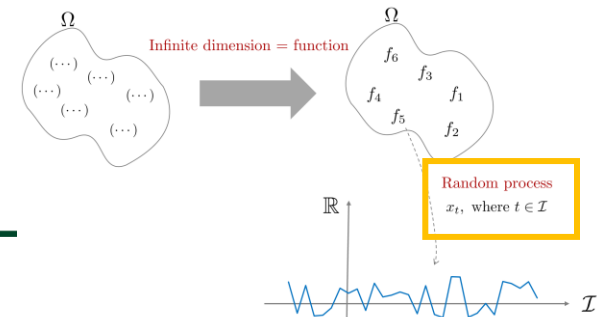
# Spatial-temporal modeling particulate matter concentration

이민주



SPDE

# Geostatistical Data



- Geostatistical Data의 한계 → 점의 정보이기 때문에 빈 공간의 정보를 알기 힘들.
- 몇 가지 가정(**Isotropic, Stationary**)를 활용하여 빈 공간을 채울 때(=Kriging) 도움을 받고자 함.

$$\{Z(s): s \in D \subset \mathbb{R}^2\}$$

:주어진 도메인(D, 예: 서울시) 내에 내포된 위치 s에서의 관측값들

$s_1, \dots, s_n$ : 위치

$Z(s_1), \dots, Z(s_n)$ : 위치 s에서의 무작위 과정(Random Process)

- **Weak Stationary:**  $E[Z(s)] = \mu$ ,  $\text{Cov}(Z(s_1), Z(s_2)) = K(s_1 - s_2)$ ,  $s_1 - s_2 \neq s_2 - s_1$  방향 & 거리 동일하면 Covariance 같음.
- Strong Stationary:  $\{Z(s_1), \dots, Z(s_n)\} = \{Z(s_1 + h), \dots, Z(s_n + h)\}$  너무 까다로운 조건, 현실성x
- **Weak Isotropic:**  $\text{Cov}(Z(s_1), Z(s_2)) = K(|s_1 - s_2|)$ ,  $s_1 - s_2 \neq s_2 - s_1$  방향 고려x, 거리만 동일하면 Covariance 같음.

Autocovariance(자기공분산)

:  $s_i$ 에 h(거리)를 더함으로써 covariance를 구할 수 있음

THE FUTURE  
WE CREATE

# Matérn Covariance Function

- **Matérn Covariance Function:** 공간 통계학에서 자주 활용되는 Autocovariance 함수. *\*장점: 공간적으로 가까운 지점들의 유사성 파악함\** SPDE는 Matérn Covariance Function 으로 설명되는 Process 계산 방법으로 활용.
- **SPDE(Stochastic Partial Differentials Equation):** 유연하고 효율적인 방법으로 geostatistical data 모델링 및 예측하는 방법론. *\*장점: 연속적인 공간 Process 분포를 얻어 샘플링되지 않은 위치 예측 가능.\**

**SPDE**

$$(\kappa^2 - \Delta)^{\frac{\alpha}{2}}(\tau \xi(s)) = \mathcal{W}(s)$$

Gaussian Spatial White Noise  
Stationary GF  
(Gaussian Field)

**Matérn Covariance Function**

$$\text{Cov}(\xi_i(s_i), \xi_j(s_j)) = \text{Cov}(\xi_i, \xi_j) = \frac{1}{\Gamma(\lambda) 2^{\lambda-1}} (\kappa \|s_i - s_j\|)^{\lambda} K_{\lambda}(\kappa \|s_i - s_j\|)$$

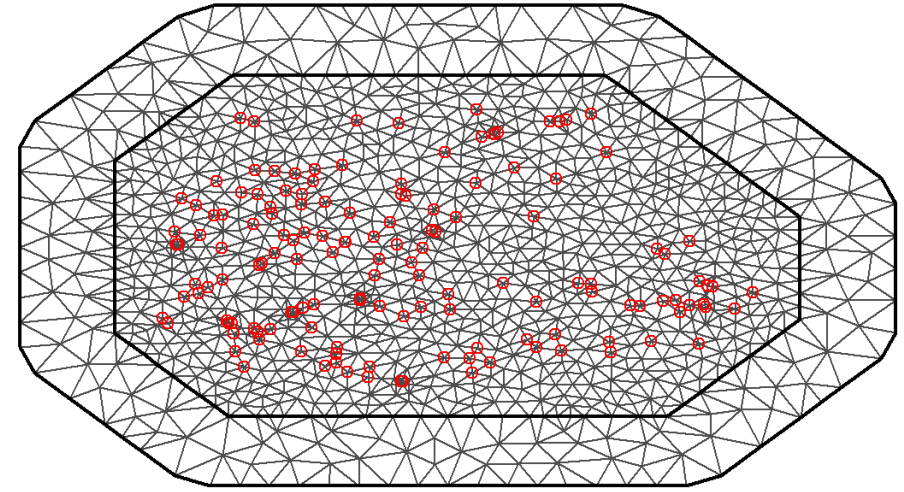
Bessel Function (2<sup>nd</sup> order): 매끄러움 측정  
지역 i와 j의 Euclidean Distance

$\alpha$  : smoothness  
 $\kappa > 0$ : scale parameter  
 $\tau$ : variance

- Hyperparameter:  $\psi = \{\sigma_e^2, \kappa, \sigma^2\}$
- Parameter:  $\theta = \{\tilde{\xi}, b_0\}$

# Matérn Covariance Function

- $\mathbf{s} \in \mathbb{R}^2$  (d(dimension) = 2), (디폴트)  $\alpha = 2, \lambda = 1$  일때,  
→  $\begin{cases} r = \frac{\sqrt{8}}{\kappa} & \text{:공간적 상관성이 있다고 여겨지는 기준(범위)} \\ \sigma^2 = \frac{1}{4\pi\kappa^2\tau^2} \end{cases}$



## SPDE

$$(\kappa^2 - \Delta)^{\frac{\alpha}{2}}(\tau\xi(\mathbf{s})) = \mathcal{W}(\mathbf{s})$$

$$\xi(\mathbf{s}) = \sum_{g=1}^G \varphi_g(\mathbf{s}) \widetilde{\xi}_g, \quad g = \text{mesh에서 삼각형 꼭짓점의 개수}$$

$\varphi_g(\mathbf{s})$ :  $g$  꼭짓점에 위치하면 1, 아니면 0.

$\widetilde{\xi} = \{\widetilde{\xi}_1, \dots, \widetilde{\xi}_G\}$ : Gaussian Weight Vector

# Linear Prediction

<https://www.paulamoraga.com/book-spatial/sec-geostatisticaldataSPDE.html>

## Linear Prediction

$$\begin{aligned}\eta_i &= b_0 + \sum_{g=1}^G \varphi_g(s) \widetilde{\xi}_g \\ &= b_0 + \sum_{g=1}^G A_{ig} \widetilde{\xi}_g\end{aligned}$$

Projection Matrix

## nrow = n(obs 개수), ncol = G(mesh 삼각형 꼭짓점 개수)

## Projection Matrix

$$A = \begin{bmatrix} A_{11} & A_{12} & A_{13} & \dots & A_{1G} \\ A_{21} & A_{22} & A_{23} & \dots & A_{2G} \\ \vdots & \vdots & \vdots & \ddots & \vdots \\ A_{n1} & A_{n2} & A_{n3} & \dots & A_{nG} \end{bmatrix} = \begin{bmatrix} 0 & 0 & 1 & \dots & 0 \\ A_{21} & A_{22} & 0 & \dots & A_{2G} \\ \vdots & \vdots & \vdots & \ddots & \vdots \\ A_{n1} & A_{n2} & A_{n3} & \dots & 0 \end{bmatrix}$$

$$\sum_{g=1}^G A_{ig} = 1$$

1st observation

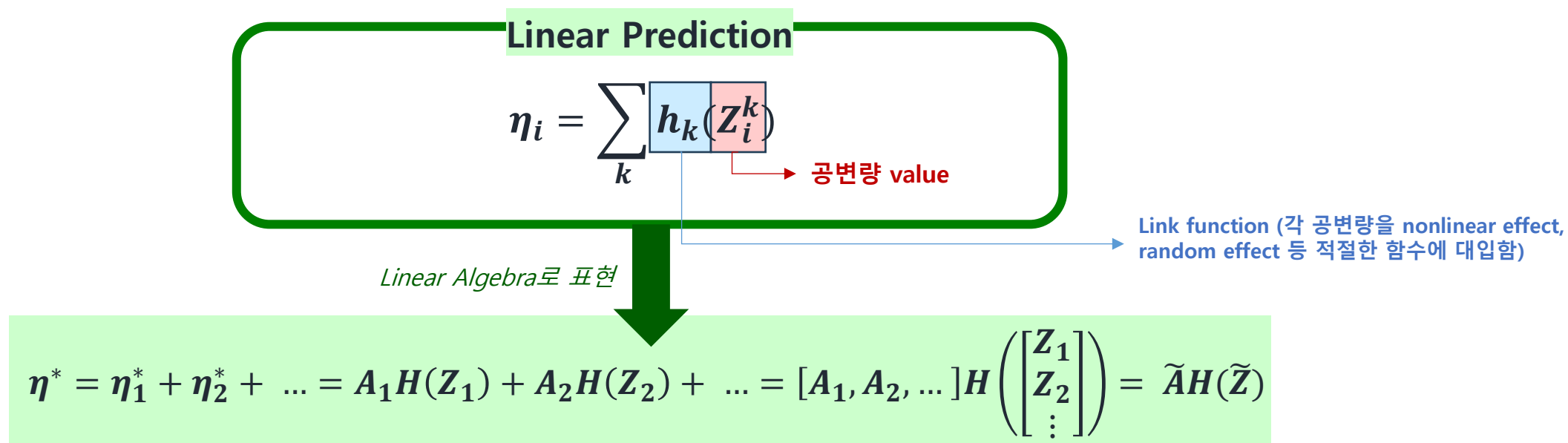
2nd observation

3번째 observation은 3번째  
꼭짓점에 정확히 위치함.

EWHA,  
THE FUTURE  
WE CREATE

# Advanced Operation: inla.stack

: Model Complexity가 증가할수록 SPDE의 에러가 발생할 수 있음 → INLA.stack 활용



# Spatio-temporal modeling particulate matter concentration

## I . Air pollution in Piemonte Dataset



# Data Explanation

- Geostatistical Data
- 2005년 10월 ~ 2006년 3월까지 (매일 측정, 총 182일) Piemonte 지역 (북부 이탈리아)의 PM<sub>10</sub> 농도 분석
- 총 24개의 관측소(점)을 분석
- nrow: 4368 (24(station) x 182(days)), ncol: 12

Covariates X (M=8) : scaled

Piemonte Data

관측소: i=1,...,24

Station.ID	Date	A	UTMX	UTMY	WS	TEMP	HMIX	PREC	EMI	PM10	time	logPM10
1	01/10/05	-1.3955833	0.9401862	-0.6364774	-0.0776828	2.096996	2.181230	-0.2902373	-0.1752838	28	1	3.332205
2	01/10/05	-0.7563919	-0.2639052	-1.1771843	-0.2319185	2.068951	1.691691	-0.2902373	-0.3453852	22	1	3.091042
3	01/10/05	-0.0253574	1.4970490	-1.2218365	0.0379940	1.822551	2.527195	-0.2902373	-0.6353254	17	1	2.833213
4	01/10/05	-0.8881265	0.0996534	-0.6245213	0.4428627	2.060938	1.383675	-0.2902373	-0.0984938	25	1	3.218876
5	01/10/05	1.4784586	-0.1863740	1.1400961	-0.6560668	1.860613	1.371974	-0.2902373	-0.0324079	20	1	2.995732
6	01/10/05	0.1100881	-1.0203586	0.0547783	0.1536708	2.052925	1.402333	-0.2902373	0.0152950	41	1	3.713572

날짜: 10월 1일 2005년 ~ 3월 31일 2006년 (총 182일)

X축, Y축 좌표계 (covariate에 포함됨)

Time(일): t=1,...,182

EWHA,  
THE FUTURE  
WE CREATE

# Spatial-temporal Model

$$y_{it} \sim \text{Normal}(\eta_{it}, \sigma_e^2) \quad i = \text{지역}(1, \dots, 24), t = \text{년도}(1, \dots, 182), m = \text{공변량}(1, \dots, 8)$$

## Linear Prediction

$$\eta_{it} = b_0 + \sum_{m=1}^M \beta_m x_{mi} + \omega_{it}$$

잠재적 spatio-temporal process

$$\omega_{it} = a\omega_{i(t-1)} + \xi_{it}$$

Zero-mean Gaussian Field

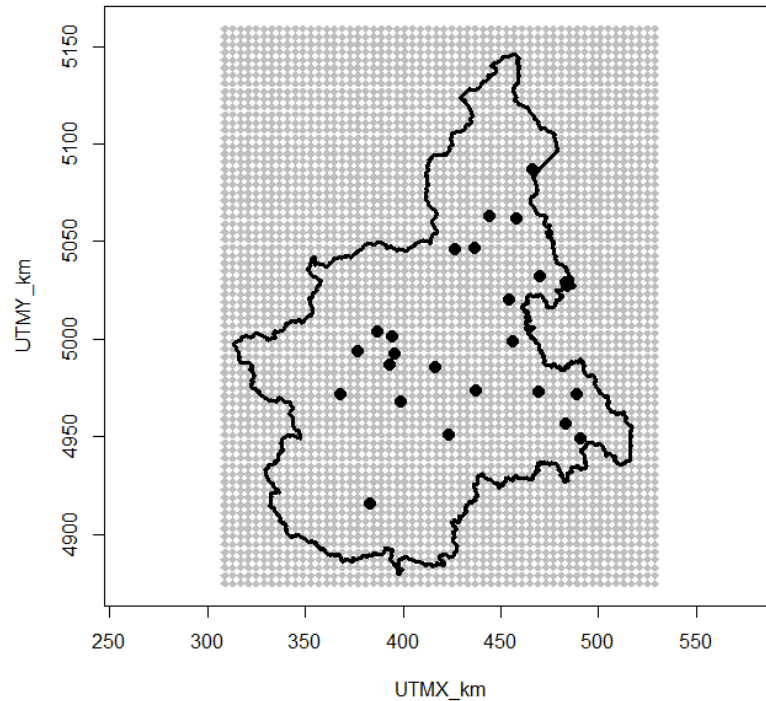
$$\text{Cov}(\xi_{it}, \xi_{ju}) = \begin{cases} 0 & \text{if } t \neq u \\ \text{Cov}(\xi_i, \xi_j) & \text{if } t = u \end{cases}$$

Matérn Spatial Covariance Function

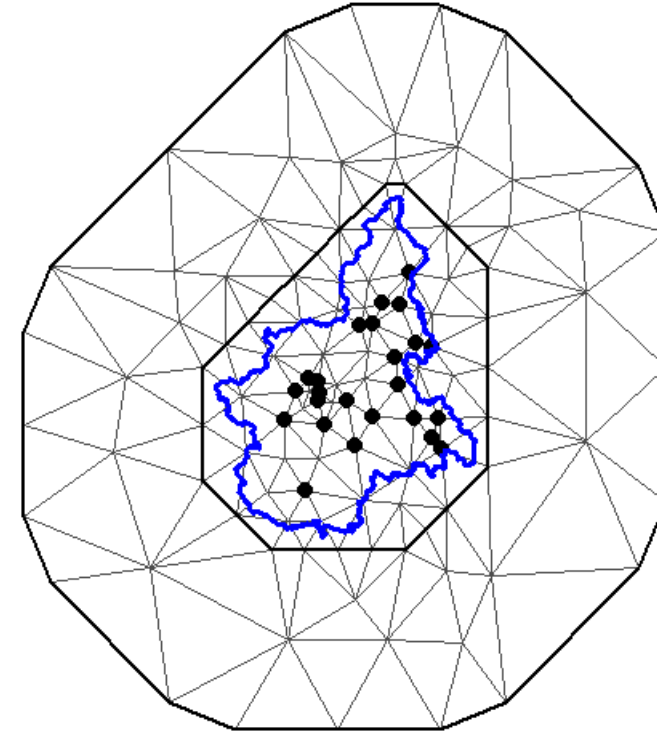
$$\text{Cov}(\xi_i, \xi_j) = \text{Cov}(Z(\xi_i), Z(\xi_j)) = \frac{1}{\Gamma(\lambda)2^{\lambda-1}} (\kappa \|s_i - s_j\|)^{\lambda} K_{\lambda}(\kappa \|s_i - s_j\|)$$

# Spatial-temporal Model

Figure 7.8



Mesh Projection



R 코드

```
Piemonte_mesh = inla.mesh.2d(loc=cbind(coordinates$UTMX,coordinates$UTMY),  
                             Mesh 생성 loc.domain=borders, offset=c(10, 140), max.edge=c(50, 1000))  
plot(Piemonte_mesh,asp=1,main="")  
lines(borders, lwd=3, col='blue')  
points(coordinates$UTMX, coordinates$UTMY, pch=20, cex=2)
```

obs의 x,y축 좌표  
내부, 외부의 비율  
내부, 외부에서의 삼각형 변의 최대 길이

# Spatial-temporal Model

우리가 알고 싶은 새로운 점(newX,newY)의 좌표

## R 코드

### Matern 공분산 함수 설정

```
Piemonte_spde = inla.spde2.matern(mesh=Piemonte_mesh, alpha=2)
```

```
A_est = inla.spde.make.A(mesh = Piemonte_mesh,
```

### Projection

### A matrix 생성

```
loc = coordinates.allyear,      ##obs의 x,y축 좌표  
group = Piemonte_data$time,    ##같은 날짜 = 같은 group  
n.group = n_days)              ##총 182개의 group 생성
```

```
s_index = inla.spde.make.index(name = "spatial.field",
```

### Index 생성

```
n.spde = Piemonte_spde$n.spde, ##mesh 꼭짓점 개수  
n.group = n_days)
```

```
Stack_est <- inla.stack(data = list(logPM10 = Piemonte_data$logPM10),
```

```
A = list(A_est, 1),      ##Projection Matrix A
```

```
effects = list(c(s_index, list(Intercept=1)),  
list(Piemonte_data[,3:10])), tag="est")
```

$$\eta_{it} = b_0 + \sum_{m=1}^M \beta_m x_{mi} + \omega_{it}$$

```
A_pred = inla.spde.make.A(mesh = Piemonte_mesh,  
loc = as.matrix(Piemonte_grid),  
group = i_day,      ##122(꼭짓점 개수)  
n.group = n_days)  
stack_pred = inla.stack(data = list(logPM10 = NA),  
A = list(A_pred,1),  
effects = list(c(s_index, list(Intercept=1)),  
list(covariate_matrix_std)), tag="pred")  
stack = inla.stack(stack_est, stack_pred)
```

```
formula = logPM10 ~ -1 + Intercept + A + UTMX + UTMY + WS + TEMP  
+ HMIX + PREC + EMI +
```

```
f(spatial.field, model=Piemonte_spde,
```

```
group=spatial.field.group, control.group=list(model="ar1"))
```

```
output = inla(formula, rep(1:182, each=122)
```

### Model Fitting

```
data = inla.stack.data(stack, spde = Piemonte_spde),  
family="gaussian",  
control.predictor=list(A=inla.stack.A(stack), compute=TRUE))
```

$$\omega_{it} = a\omega_{i(t-1)} + \xi_{it}$$

# Spatial-temporal Model Results

Table 7.2 Posterior estimates (mean, standard deviation (SD), and quantiles) for the Piemonte air pollution model.

Parameter	Mean	SD	2.5%	50%	97.5%
$b_0$	3.696	0.457	2.784	3.698	4.596
$\beta_1$ (A)	-0.209	0.052	-0.313	-0.209	-0.107
$\beta_2$ (UTMX)	-0.173	0.170	-0.512	-0.172	0.161
$\beta_3$ (UTMY)	-0.179	0.155	-0.487	-0.179	0.125
$\beta_4$ (WS)	-0.058	0.008	-0.075	-0.058	-0.042
$\beta_5$ (TEMP)	-0.121	0.035	-0.190	-0.120	-0.051
$\beta_6$ (HMX)	-0.025	0.013	-0.051	-0.025	0.001
$\beta_7$ (PREC)	-0.054	0.009	-0.071	-0.054	-0.037
$\beta_8$ (EMI)	0.035	0.015	0.005	0.035	0.064
$\sigma_e^2$	0.032	0.001	0.030	0.032	0.035
$\sigma^2$	1.309	0.211	0.956	1.286	1.783
$r$	269.909	17.034	238.500	269.079	305.408
$a$	0.960	0.007	0.946	0.960	0.972

$$\eta_{it} = b_0 + \sum_{m=1}^M \beta_m x_{mi} + \omega_{it}$$

$$\omega_{it} = a\omega_{i(t-1)} + \xi_{it}$$

PM10가 심한 지역은 중부  
쪽에 몰려 있을 거란 예측  
가능.

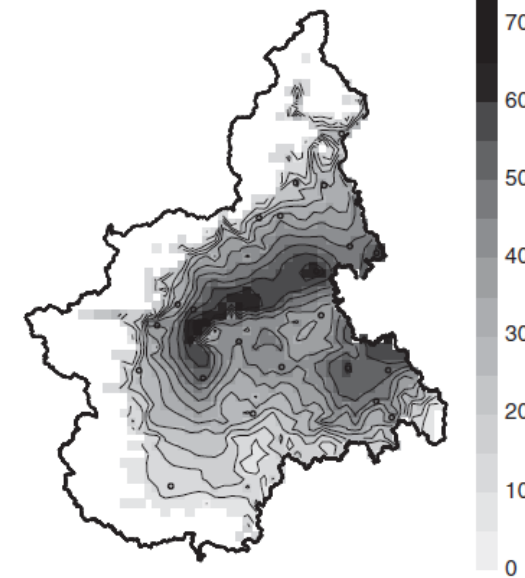


Figure 7.9 Posterior mean of particulate matter concentration for the selected day 30/01/2006. Only locations with an altitude below 1000 m are shown.

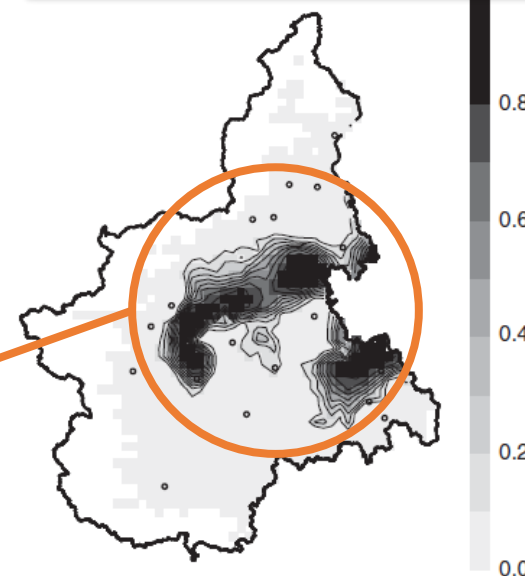


Figure 7.10 Posterior probability of exceeding the 50 µg/m³ limit value for 30/01/2006. Only locations with an altitude below 1000 m are shown.



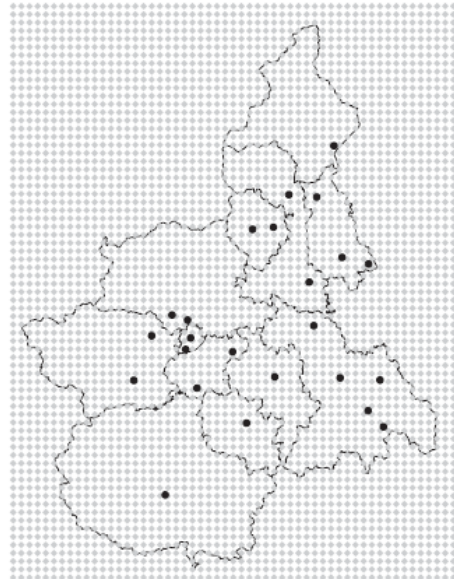
# Spatio-temporal modeling particulate matter concentration

## II. Change of Support Problem (COSP)

Areal 와 Geostatistical으로 구성된 데이터  
(ex. 역학 연구)에서의 공간 불일치를 관리  
하는 방법론.

# Data Explanation

- Geostatistical Data + Areal Data
- 총 12개의 Health District(보건구)가 있으며, 24개의 관측소들이 해당 보건구에 위치함.
- 우리가 예측하고 싶은 new observation (4032개의 좌표) 중 2443개는 보건구 밖에 위치 → 제거



*Figure 7.11 Map of the 12 health districts in Piemonte. Black points denote the  $PM_{10}$  monitoring stations, while gray diamonds show the 4032 points of the regular grid.*

# Change of Support Problem (COSP)

## Linear Prediction

$$PM_{Bit}^{Area} = \sum_{j \in B_i} \eta_{jt}^{pred} K_{ij}$$

- $S_j$  : grid location ( $j = 1, \dots, 24$ )
- $B_i$  : area ( $i = 1, \dots, 12$ )
- $K_{ij} = \frac{1}{\#(S_j \in B_i)}$  : weight for the prediction

## R코드

```
AL_ind = as.numeric(rownames(match_grid_asl[match_grid_asl$COD=="AL",]))  
dim_lp = nrow(inla.stack.A(stack)) + ncol(inla.stack.A(stack))
```

→ 12개의 구역 별로 해당하는 new obs Index 찾기

```
lc_AL_vec = rep(NA, times=dim_lp)  
lc_AL_vec[index_pred][AL_ind] = 1/length(AL_ind)  
lc_AL = inla.make.lincomb(Predictor = lc_AL_vec)
```

→  $K_{ij}$  : Pred의 weight

→ 선형 조합:  $\eta_{jt}^{pred} K_{ij}$



# Change of Support Problem (COSP)

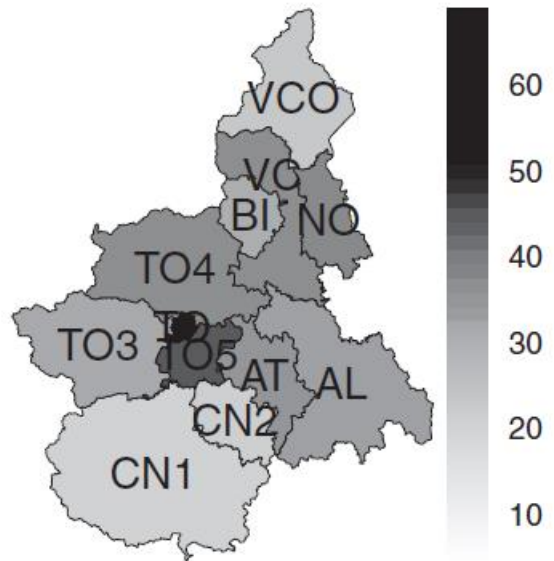


Figure 7.12 Map of the PM<sub>10</sub> posterior mean at the health district level for 30/01/2006.

○ : 각 구역별 PM10의 Posterior Mean

→ TO4 보건구의 PM10이 높고, VCO, BI, CN1, CN2는 PM10이 낮을 것으로 예상 됨.

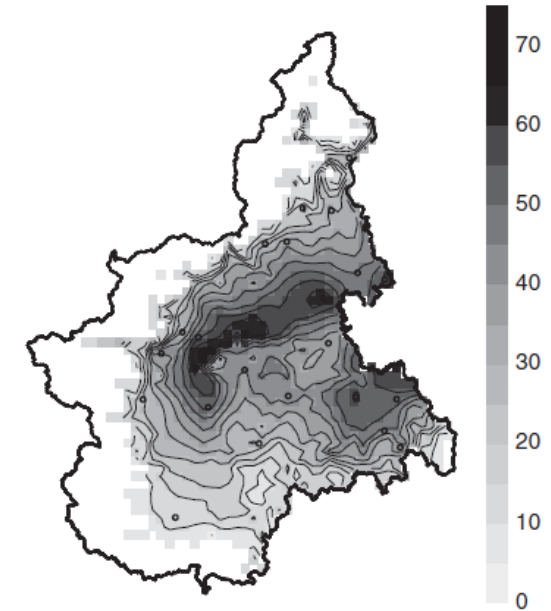


Figure 7.9 Posterior mean of particulate matter concentration for the selected day 30/01/2006. Only locations with an altitude below 1000m are shown.